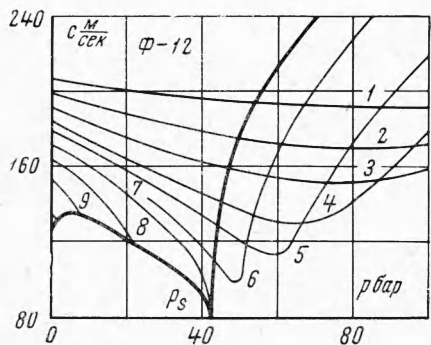


## К ИЗМЕРЕНИЮ СКОРОСТИ ЗВУКА ВО ФРЕОНАХ

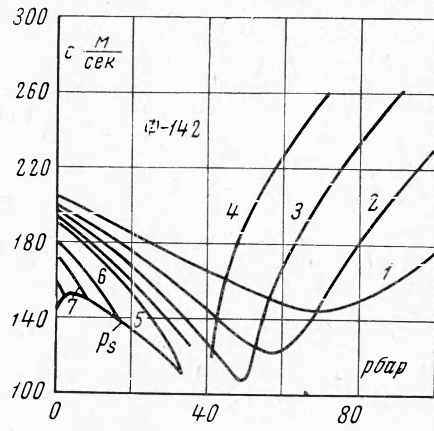
**Я. Л. Колотов, А. Н. Соловьев, Е. П. Шелудяков**  
(Новосибирск)

Приводятся экспериментальные данные в достаточно широкой области параметров состояния, включая линию насыщения, до- и закритическую область. Для выявления закономерностей поведения  $c = f(p, T)$  выбраны фреон-12 ( $\text{CF}_2\text{Cl}_2$ ) и фреон-142 ( $\text{C}_2\text{H}_3\text{F}_2\text{Cl}$ ). Эти фреоны имеют сравнительно низкие критические температуры и поэтому удобны для исследования сверхкритической области. Кроме того, для этих фреонов отсутствуют данные по скорости звука.

Измерения проводились методом стоячих волн в резонаторе на установке, описанной в [1], на частотах  $1000 \div 3000 \text{ гц}$ . Особенность данных измерений заключалась в том, что при температурах ниже комнатной (до  $233^\circ\text{K}$ ) автоклав с резонатором помещались в специально оборудованный холодильный шкаф; это обеспечило более удобную работу и качественное регулирование температуры. Фреон-12 был подвергнут анализу на масс-спектрометре. При этом в нем не было обнаружено никаких примесей. Фреон-142 был подвергнут хроматографическому анализу, в результате которого в нем обнаружены примеси: фреон-12—0.28%; 1,1-дифторэтан в сумме с 1,2-дифторхлорэтаном—0.06%; фреон-141— $< 0.01\%$ .



Фиг. 1



Фиг. 2

При работе с фреоном-12 наблюдалось хорошее совпадение  $p - T$ -зависимости на линии насыщения с табличными данными. При работе с фреоном-142 наблюдалось отклонение давления насыщения от табличного [2], причем это отклонение возрастало при приближении к критической температуре. В связи с этим не приводятся данные в непосредственной близости к критической точке для фреона-142. Для приведенных значений скорости звука отклонение давления насыщения от табличного не превышает 0.4%; это отклонение практически не увеличивает погрешность результатов.

По формуле

$$c^\circ = \left( g \frac{C_p}{C_v} RT \right)^{1/2}$$

была рассчитана скорость звука в обоих фреонах при нулевом давлении, и при обработке результатов производилась экстраполяция изотерм скорости звука на нулевое давление. Исходные данные для расчета были взяты из [3]. Результаты измерений скорости звука в перегретом паре по изотермам и линии насыщения приведены на фиг. 1,2, где  $P_s$  — кривая насыщения, а цифры соответствуют следующим температурам:

Фреон-12

$T [\text{°K}]$	1	2	3	4	5
	576.16	513.16	473.16	433.16	413.16
	6	7	8	9	10

$T [\text{°K}]$	1	2	3	4	5
	394.16	385.16	352.36	304.26	233.16
	6	7	8	9	10

Фреон-142

$T [\text{°K}]$	1	2	3	4	5
	473.16	441.16	423.96	410.08	399.16
	6	7	8	9	10

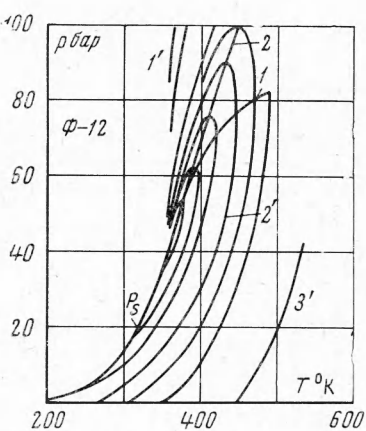
$T [\text{°K}]$	1	2	3	4	5
	363.16	330.36	272.51	233.46	
	6	7	8	9	10

Скорость звука во фреоне-12 исследована в интервале температур  $233 \div 576^{\circ}\text{K}$  и давлений от 0.01 до 100 бар, а во фреоне-142 в том же интервале давлений и при температурах от 233 до  $473^{\circ}\text{K}$ . Температура измерялась платиновым термометром сопротивления, давление — поршневым манометром МП-60 класса точности 0.05 в комплекте с образцовым манометром на 4 кг/см<sup>2</sup> класса точности 0.35. При измерениях в области низких температур температура поддерживалась с точностью  $0.1 \div 0.2^{\circ}\text{K}$ ; в области температур  $293 \div 510^{\circ}\text{K}$  — с точностью  $0.03^{\circ}\text{K}$  и в области  $510 \div 590^{\circ}\text{K}$  — с точностью  $0.1 \div 0.2^{\circ}\text{K}$ .

Кроме непосредственного измерения, расстояние между мембранными определялось по измерениям скорости звука в осущенном воздухе. Ошибка отнесения не превышает 0.1% во всей области исследованных параметров состояния, за исключением критической, где последняя несколько выше. При температурах от 233 до  $400^{\circ}\text{K}$  расхождение между экспериментальными значениями скорости звука и экстраполированными в нуль давления не превышает  $0.2 \div 0.3\%$ . Однако при более высоких температурах это расхождение увеличивается и достигает  $0.6 \div 0.7\%$ . Поправка на термическое расширение резонатора учитывалась. Поправка на трение о стени резонатора была пренебрежимо мала. Общую погрешность результатов можно оценить в  $0.5 \div 0.8\%$ .

Проведенные в данной работе измерения скорости звука во фреоне-12 и фреоне-142, а также проведенные ранее измерения скорости звука во фреоне-21 [1] позволили выявить некоторые закономерности, касающиеся характера линий постоянной скорости звука в критической области. На фиг. 3, где  $k$  — критическая точка,  $P_S$  — кривая насыщения, построены линии постоянной скорости звука ( $1' - 273.0 \text{ м/сек}; 2' - 150.9; 3' - 189.7$ ) в  $p-T$  координатах для фреона-12. Линия 1 соединяет точки минимума скорости звука, которые являются одновременно точками максимальной температуры на кривых  $c(p, T) = \text{const}$ .

Как видно из графика, при удалении от критической точки линия 1 отклоняется от прямой в сторону меньших давлений. Линия 2, соединяющая точки максимального давления на линиях  $c(p, T) = \text{const}$ , является прямой линией. Как показывает сравнение с  $p-v-T$  данными [4], в этой области линия 2 весьма близка к критической изохоре. Аналогичная картина наблюдается также и для фреона-142 и фреона-21.



Фиг. 3

Поступила 22 IV 1968

## ЛИТЕРАТУРА

- Шелудяков Е. П., Комаров С. Г., Колотов Я. Л., Соловьев А. Н. Экспериментальное исследование скорости звука в парах и жидкостях. Сб. Исследования теплофизических свойств веществ, М., «Наука», 1967.
- Розенфельд Л. М., Ткачев А. Г. Холодильные машины и аппараты, М., Гостехиздат, 1960.
- Брагафтук Н. Б. Справочник по теплофизическим свойствам газов и жидкостей, М., Физматгиз, 1963.
- Справочник «Fundamentals and Equipment», Copyright by the American Society of Heating, Refrigerating and Air Condit., Ing. (ASHRAE), N.—Y., 1965, 1966.